

# 3GPP MAC 알고리즘 안전성 분석

홍도원\*, 신상욱\*, 강주성\*, 이옥연\*

## An analysis on the security of the 3GPP MAC algorithm

Dowon Hong\*, Sang Uk Shin\*, Ju-Sung Kang\*, Okyeon Yi\*

### 요약

비동기식(W-CDMA) 3세대 이동통신의 3GPP에서는 무선 구간의 메시지 무결성을 보장하기 위하여 블록 암호 KASUMI에 기반한 CBC-MAC의 변형된 형태를 제안하고 있다. 본 논문에서는 최근 발표된 Knudsen-Mitchell의 공격법을 심층 분석하여 구체적인 공격 수행 알고리즘을 제안하고, 이 알고리즘의 성공 확률 및 수행 복잡도를 계산한다. 또한, 3GPP-MAC에 대한 안전성을 기존 CBC-MAC 방식과 비교하여 분석한다.

### ABSTRACT

3GPP proposed a variant CBC-MAC based on the block cipher KASUMI to provide the data integrity over a radio access link. We have studied deeply the Knudsen and Mitchell's attack. In this paper we proposed a definite performing algorithm of the Knudsen and Mitchell's attack and compute the success probability and complexity of that algorithm. Moreover We also analyze a security of 3GPP-MAC comparing with the original CBC-MAC.

**keyword** : 3GPP-MAC, CBC-MAC, forgery attack, key recovery attack

## 1. 서론

메시지 인증 코드(Message Authentication Code : MAC)는 전송되는 메시지의 무결성과 출처 인증을 위해 광범위하게 사용된다. MAC은 송신자와 수신자가 같은 비밀키  $K$ 를 가지고 있는 시스템 환경에 적용된다. 메시지  $x$ 를 보호하기 위하여 송신자는  $K$ 와  $x$ 의 함수인  $MAC_K(x)$ 를 계산하여 메시지  $x$ 에 부가하여 보낸다. 메시지  $x$ 를 받은 수신자는 공유하고 있는 비밀키  $K$ 를 이용하여  $MAC_K(x)$ 를 계산한 후 전송된 MAC 값과 비교함으로써 메시지  $x$ 가 변조되지 않고 정당한 사용자로부터 온 것임을 검증한다.

MAC의 주요한 안전성 요인은 위장 공격이 불가능해야 한다는 것이다. 즉, 비밀키  $K$ 를 알지 못하는 공격자가 임의의 새로운 메시지  $x$ 와 대응되는

$MAC_K(x)$ 를 계산하는 것이 계산량적으로 불가능해야 한다. MAC에 대한 두 번째 공격은 키 탐색 공격이다. 공격자가 비밀키  $K$ 를 얻을 수 있다면 임의의 메시지와 대응하는 MAC 쌍을 위장할 수 있다.

비동기식(W-CDMA) 3세대 이동 통신 진영의 3GPP (3rd Generation Partnership Project)에서도 무선 구간의 메시지 무결성을 보장하기 위하여 블록 암호 KASUMI에 기반한 CBC-MAC의 변형된 형태를 제안하고 있다.<sup>(1)</sup> 블록 암호 동작 모드의 한 형태인 CBC(Cipher Block Chaining) 모드를 이용한 CBC-MAC은 국제 표준 ISO/IEC 9797-1<sup>(2)</sup>에 기본적인 CBC-MAC과 그 변형된 형태로 6종류의 CBC-MAC 알고리즘들이 제시되어 있다. 이들은 세 가지 메시지 패딩 방법 중 한 가지를 사용하고, 두 가지 입력 변환과 세 가지 출력 변환으로

\* 한국전자통신연구원 정보보호기술연구본부 ({dwhong, shinsu, jskang, oyyi}@etri.re.kr)

구성된다. 이들 CBC-MAC 알고리즘의 안전성 분석은 ISO/IEC 9797-1<sup>[2]</sup> 문서와 Preneel-Oorschot<sup>[3]</sup>, Knudsen<sup>[4]</sup>, Brincat-Mitchell<sup>[5]</sup> 등에 의해 이루어졌다. 또한, ANSI X9.19<sup>[6]</sup> retail MAC으로 명명된 CBC-MAC 형태는 Preneel-Oorschot,<sup>[7]</sup> Knudsen-Preneel<sup>[8]</sup>에 의해 자세히 분석되었다.

3GPP-MAC에 대한 안전성 분석은 최근에 Knudsen-Mitchell<sup>[9]</sup>에 의해 이루어졌다. 그들은 위장 공격과 키 탐색 공격 관점에서 3GPP-MAC의 안전성을 분석하였다.

본 논문에서는 먼저 Knudsen과 Mitchell의 공격법을 심층 분석하여 구체적인 공격 수행 알고리즘을 제안하고 이 알고리즘의 성공 확률 및 수행 복잡도를 계산한다. 다음으로 기존의 CBC-MAC 방식과 변형된 형태인 3GPP-MAC 방식의 안전성을 비교 분석한다.

## II. 3GPP-MAC의 공격법 분석

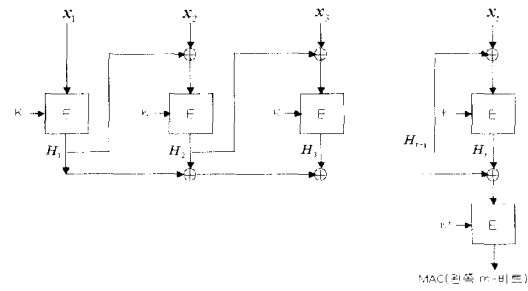
### 2.1 3GPP-MAC 알고리즘

3GPP 무결성 알고리즘 f9로 사용되는 3GPP-MAC 알고리즘의 경우는 ISO/IEC 9797-1에서 정의한 6가지 형태의 CBC-MAC과는 다른 형태의 변형된 CBC-MAC을 이용한다. 기존 CBC-MAC과의 가장 큰 차이점은 최종 출력 변환의 입력 값으로 이전의 블록 암호 출력 값으로 나온 모든 연쇄 변수를 XOR한다는 것이다.

3GPP-MAC은 아래와 같이 동작한다. 기본 블록 암호는  $n$ -비트 블록들을 가지고  $k$ -비트의 비밀키를 이용한다고 가정하자. 만약  $X$ 가  $n$ -비트 블록을 가진다면 비밀키  $K$ 를 사용한  $X$ 의 암호화를  $E_K(X)$ 로 표기한다. 메시지  $x$ 는 먼저  $n$ 의 배수가 되도록 메시지의 끝에 하나의 1과 나머지 0를 이용하여 패딩되고  $t$ 개의  $n$ -비트 블록들  $x_1 || x_2 || \dots || x_t$ 로 분할된다. 여기에서 기호  $||$ 는 연결을 뜻한다. 앞으로 우리는 패딩된 메시지만 고려할 것이다. 3GPP-MAC은 키 쌍  $K, K'$ 을 사용하며,  $K'$ 은  $K$ 로부터 다음과 같이 유도될 수 있다.

$$K' = K \oplus C,$$

여기서  $C = 0101 \dots 01$  (128비트)인 이진 상수이다. MAC 값의 계산은 다음과 같다(그림 1) 참조):



(그림 1) 3GPP-MAC 알고리즘

$$\begin{aligned} H_1 &= E_K(x_1), \\ H_i &= E_K(x_i \oplus H_{i-1}), \quad (2 \leq i \leq t), \\ \text{MAC} &= E_{K'}(H_1 \oplus H_2 \oplus \dots \oplus H_t). \end{aligned}$$

여기에서  $H_i$ 는 연쇄 변수라 불리우며 3GPP-MAC에서 사용되는 MAC 값은 위의 마지막 식에서 주어진 MAC의 최상위  $m$ -비트 ( $m \leq n$ )만을 이용한다. 3GPP 기술 문서<sup>[11]</sup>에 제시된 무결성 알고리즘 f9는 기본 블록 암호로 128-비트 키와 64-비트 블록을 가진 KASUMI 알고리즘을 이용하며, MAC 값의 길이는 32-비트를 사용한다.

일반적으로 블록 암호에 기반한 CBC-MAC인 경우 블록 암호가 랜덤한 순열이라는 가정이 필요하다. 본 논문에서도 블록 암호 KASUMI의 랜덤성은 가정하고, 아래 보조 정리에서 KASUMI가 순열임을 보인다.

#### 보조 정리 1.

블록 암호 KASUMI는 순열이다.

증명) 3GPP 기술 문서<sup>[10]</sup>에 나타난 KASUMI 알고리즘의 블록 구조는 다음과 같이

$$K(L, R) = (R \oplus f(L), L)$$

이고,  $K$ 의 역은

$$K^{-1}(L, R) = (R, L \oplus f(R))$$

이다. 여기서  $L, R$ 은 임의의 32-비트 이진 벡터이다. 그러면

$$\begin{aligned} K^{-1}(K(L, R)) &= K^{-1}(R \oplus f(L), L) \\ &= (L, R \oplus f(L) \oplus f(L)) \\ &= (L, R), \end{aligned}$$

이고 비슷한 방법으로

$$K(K^{-1}(L, R)) = (L, R)$$

이다. 따라서 KASUMI는 순열이다.  $\square$

Preneel-Oorshot<sup>[3]</sup>에 의하면 대부분의 공격은 두 메시지가 같은 MAC 값을 가지는 충돌 쌍에 기반한다. 따라서 본 논문에서도 두 메시지가 같은 MAC 값과 같은 마지막 연쇄 변수를 가질 때 내부 충돌(internal collision) 쌍이라 부르고, 내부 충돌 쌍이 아닌 충돌 쌍을 외부 충돌(external collision) 쌍이라 부른다.

ISO/IEC 9797-1<sup>[2]</sup>에서 사용된 표현 방법에 따라 공격자에게 필요한 자원을 명확하게 규정하기 위해  $[a, b, c, d]$  표기를 사용한다. 여기서  $a$ 는 오프라인 블록 암호 암호화 횟수,  $b$ 는 알려진 메시지/MAC 쌍의 수,  $c$ 는 선택 메시지/MAC 쌍의 수,  $d$ 는 온라인 MAC 검증 횟수를 나타낸다.

### 2.2 Knudsen-Mitchell 위장 공격법의 분석

본 절에서는 3GPP-MAC의 알려진 공격법 중 가장 효율적인 Knudsen과 Mitchell<sup>[9]</sup>의 위장 공격법을 고찰한다. 먼저 그들의 공격을 심층적으로 분석하고 구체적인 공격 수행 알고리즘의 복잡도를 계산하기 위해 필요한 몇 가지 정리들을 알아보자.

다음 두 보조 정리는 '생일 역설'로 잘 알려진 내용이다.

#### 보조정리 2.

1에서  $n$ 까지의 번호가 적힌  $n$ 개의 공을 가진 한 개의 단지가 있다고 하자. 한 번 시행에 한 개씩 복원 추출을 통해 단지에서  $r$ 개의 공을 꺼내어 그 번호를 기록한다고 하자.  $n$ 이 충분히 크고,  $r = O(\sqrt{n})$ 일 때, 적어도 한 쌍의 충돌이 발생할 확률은 대략

$$1 - \exp\left(-\frac{r(r-1)}{2n}\right) \approx 1 - \exp\left(-\frac{r^2}{2n}\right)$$

이다.

#### 보조정리 3.

1에서  $n$ 까지의 번호가 적힌  $n$ 개의 흰 공을 가

진 단지와 1에서  $n$ 까지의 번호가 적힌  $n$ 개의 빨간 공을 가진 단지가 있다고 하자. 한 번 시행에 한 개씩 복원 추출을 통해 두 단지에서 각각  $r_1$ 개와  $r_2$ 개의 공을 꺼내어 그 번호를 기록한다고 하자.  $n$ 이 충분히 크고,  $r_1 = r_2 = r$ ,  $r = O(\sqrt{n})$ 이면, 적어도 한 쌍의 충돌이 발생할 확률은 대략

$$1 - \exp\left(-\frac{r^2}{n}\right)$$

이다.

Knudsen-Mitchell의 위장 공격법은 다음과 같다.

공격자가  $2^{\frac{n+m}{2}}$  개의 알려진 메시지/MAC 쌍을 가지고 있다고 가정하자.  $2^{\frac{n+m}{2}}$  개의 알려진 MAC 값들을 MAC 값에 따라  $2^m$  개의 집합으로 분할하자. 적어도 한개의 집합은 모두 MAC 값이 같은  $2^{(n-m)/2}$  개 이상의 메시지를 포함할 것이고 그 집합을 선택한다. 이들 메시지 중에서 2개는 버려진  $(n-m)$ -비트에서도 충돌할 것으로 기대된다. 선택한 집합의 모든 메시지  $x = x_1 || x_2 || \dots || x_t$ 에 대해,  $2^{n/2}$  개의 랜덤하게 선택한  $y(i)$ 로 만든  $x || y(i)$  메시지들과 대응하는 MAC 값들을 얻는다. 선택한 메시지/MAC 쌍의 총 개수는  $2^{(n-m)/2} \cdot 2^{n/2} = 2^{n-m/2}$  이므로 생일 역설에 의하여 좋은 확률로 같은 MAC 값을 가지면서  $H_t \oplus y = H_s \oplus y'$ 가 되는 메시지들  $x_1 || \dots || x_t || y$ 와  $x'_1 || \dots || x'_s || y'$ 가 존재한다. 즉,  $2^{n-m/2}$  개의 선택 메시지/MAC 쌍의 집합에서 내부 충돌 쌍이 존재한다.  $2^{n-m/2}$  개의 메시지 중에서 충돌이 발생할 메시지는  $2^{n-m/2}$  보다 작으므로 이들 메시지 중에서 내부 충돌 쌍을 찾기 위해서는  $2^{n-m/2}$  개의 메시지의 끝에 고정된  $n$ -비트 블록을 더한 새로운 메시지의 MAC 값이 필요하다. 이것은  $2^{n-m/2}$  과 비교하여 무시할 수 있는 수이다.

$x$ 와  $x'$ 의 연쇄변수들에 대해  $H_1 \oplus H_2 \oplus \dots \oplus H_t = H'_1 \oplus H'_2 \oplus \dots \oplus H'_s$ 이 성립하고  $x || y$ 와  $x' || y'$ 이 내부 충돌 쌍이면  $H_t \oplus y = H_s \oplus y'$ 이고

$$\Delta = y \oplus y' = H_t \oplus H_s$$

이다. 그러면 임의의  $n$ -비트 블록  $z$ 에 대하여

$$\begin{aligned}
& H_1 \oplus H_2 \oplus \dots \oplus H_t \oplus E_K(H_t \oplus z) \\
&= H_1 \oplus H_2 \oplus \dots \oplus H_s \oplus E_K(H_t \oplus H_s \oplus H_s \oplus z) \\
&= H_1 \oplus H_2 \oplus \dots \oplus H_s \oplus E_K(H_s \oplus z \oplus \Delta)
\end{aligned}$$

이므로  $x||z$ 와  $x'(z \oplus \Delta)$ 는 같은 MAC 값을 가진다. 그러므로 공격자가  $x||z$ 의 MAC 값을 관찰하거나 요청함으로써  $x'(z \oplus \Delta)$ 의 MAC 값을 위조할 수 있다. 이 공격의 총 복잡도는

$$[0, 2^{(n+m)/2}, 2^{n-m/2}, 0]$$

이다.

$n=64, m=32$ 를 사용하는 3GPP-MAC의 경우  $2^{48}$ 개의 선택 메시지/MAC 쌍과  $2^{16}$ 개의 알려진 메시지/MAC 쌍을 가진 공격자에 의해 위장 공격이 가능하다. 하지만 그들의 증명에서 구체적으로 위장 공격에 성공하기 위한 공격 수행 시나리오와 위장 공격에 성공하기 위한 실제적인 공격 복잡도를 정확하게 알 수는 없다.

### 2.3 위장 공격 수행 알고리즘

본 절에서는 Knudsen-Mitchell의 위장 공격법에 기반하여 실제로 공격을 성공하기 위해서 필요한 위장 공격 수행 알고리즘을 제안하고 그 성공 확률 및 수행 복잡도를 계산한다.

[단계 1]

$2^{\frac{n+m}{2}}$ 개의 알려진 메시지/MAC 쌍을 수집한다.

[단계 2]

수집된  $2^{\frac{n+m}{2}}$ 개의 메시지/MAC 쌍들을 MAC 값에 따라 분류할 때 처음으로 분류된 같은 MAC 값을 가진  $2^{(n-m)/2}$ 개의 메시지 집합을 선택한다. (단계 2가 다시 반복될 때에는 그 다음으로 분류된 메시지 집합을 택한다.)

[단계 3]

단계 2에서 선택한 집합의 모든 메시지  $x = x_1||x_2||x_3||\dots$ 에 대해,  $2^{n/2}$ 개의 랜덤하게 선택한  $y(i)$ 로 만든  $x||y(i)$  메시지들과 대응하는 MAC 값들

로 이루어진 전체  $2^{(n-m)/2} \cdot 2^{n/2} = 2^{n-m/2}$ 개의 메시지/MAC 집합을 구한다.

[단계 4]

단계 3에서 선택한  $2^{n-m/2}$ 개의 메시지/MAC 쌍을 같은 MAC 값을 가지는 메시지 집합들로 정렬한다.

[단계 5]

남아있는 메시지 집합들을  $\{X_i\}$ 라 할 때, 고정된  $n$ -비트 블록  $y$ 를 첨가하여 새로운 메시지 집합들  $\{X_i||y\}$ 를 구하고 대응하는  $\{MAC(X_i||y)\}$  집합들을 조사하여 충돌이 없으면 대응하는 메시지  $X_i$ 들을 각각의 집합에서 버린다.

[단계 6]

단계 5를 수행한 후 원래 메시지 집합들  $\{X_i\}$ 에서 버려진 메시지들을 제외하고 남아있는 메시지 집합들 중 메시지의 개수가 한 개인 집합은 버리고 남아있는 메시지 집합들을 구한다.

[단계 7]

단계 5와 단계 6을  $\lceil \frac{n}{m} \rceil$ 번 반복한다.

[단계 8]

단계 7을 수행한 후 두 개의 메시지를 가진 집합이 한 개 이상 존재한다면 이 메시지 쌍들을 내부 충돌쌍으로 출력한다. 남아있는 집합이 없다면 단계 2로 돌아간다.

[단계 9]

단계 8에서 구한 메시지 쌍을  $x = x_1||\dots||x_s||y$ 와  $x = x'_1||\dots||x'_s||y'$ . 그리고  $\Delta = y \oplus y'$ 라고 할 때 임의의  $n$ -비트 블록  $z$ 에 대하여  $x||z$ 의 MAC 값을 관찰하거나 요청함으로써  $x'(z \oplus \Delta)$ 의 MAC 값을 위조한다.

이 공격 수행 알고리즘의 성공 확률과 공격 복잡도를 알아보자. 먼저 단계 2에서 단계 7까지의 수행을 통하여 단계 8에서 내부 충돌 쌍을 발견할 확률을 구해보자. 먼저 단계 2에서 버려진  $(n-m)$ -비트에 서로 충돌하는 메시지들이 있을 확률은 보조정리 2에 의해 대략  $1 - e^{-1/2} \approx 0.39$ 이다. 단계 3에서 선택

한  $2^{n-m/2}$  개의 메시지 중에서  $H_i \oplus y = H'_s \oplus y'$  을 만족하는 내부 충돌 쌍  $x_1 \parallel \dots \parallel x_t \parallel y$  와  $x'_1 \parallel \dots \parallel x'_s \parallel y'$  을 발견할 확률은 다음과 같이 계산된다. 먼저

$$\begin{aligned} & H_1 \oplus \dots \oplus H_t \oplus E_K(H_t \oplus y) \\ &= H'_1 \oplus \dots \oplus H'_s \oplus E_K(H'_s \oplus y') \end{aligned}$$

인 메시지  $x_1 \parallel \dots \parallel x_t \parallel y$  와  $x'_1 \parallel \dots \parallel x'_s \parallel y'$  가 존재할 확률은 보조정리 3에 의해 대략  $1 - e^{-1} \approx 0.63$  이고 동시에  $H_1 \oplus \dots \oplus H_t = H'_1 \oplus \dots \oplus H'_s$  이 성립할 확률은  $0.63 \times 0.39 \approx 0.25$  이다. 따라서 단계 8에서 내부 충돌 쌍을 출력하기 위해서는 단계 2에서 단계 7까지 평균 4번 반복 수행이 필요하다.

이제 이 공격 알고리즘의 복잡도를 계산해 보자. 단계 5, 6, 7을 수행하는 데에 필요한 선택 메시지의 개수는 대략  $2^{n-m/2} + 2^{n-3m/2} + 2^{n-5m/2} + \dots \approx \frac{2^{n-m/2}}{1-2^{-m}} \approx 2^{n-m/2}$  이다. 따라서 이 공격 알고리즘을 수행하기 위해 필요한 선택 메시지의 개수는 대략  $4 \cdot 2^{n-m/2+1} = 2^{n-m/2+3}$  이다. 따라서 총 공격 복잡도는  $[0, 2^{(n+m)/2}, 2^{n-m/2+3}, 0]$  이다.  $n=64, m=32$  인 경우  $[0, 2^{48}, 2^{51}, 0]$  의 공격 복잡도를 가지고 항상 위장 공격에 성공할 수 있다.

단계 8에서 내부 충돌 쌍을 발견하는 성공 확률을 높이기 위해서는 단계 1의 알려진 메시지/MAC 쌍의 개수를  $2^{\lfloor \frac{n+m}{2} \rfloor + 1}$  로 증가시키면 단계 2에서 버려진  $(n-m)$ -비트에서 충돌하는 메시지들이 있을 확률은 대략  $1 - e^{-2} \approx 0.86$  으로 증가한다. 따라서 단계 8에서 내부 충돌쌍이 있을 성공 확률은 0.54로 증가하고 전체 선택 메시지/MAC 쌍의 개수는  $2^{50}$

[표 1] 성공 확률과 알려진 메시지/MAC, 선택 메시지/MAC 쌍의 관계 ( $n=64, m=32$  인 경우)

성공확률	복잡도	알려진 메시지/MAC 쌍	선택 메시지/MAC 쌍	공격 수행 복잡도
0.02		$2^{46}$	$1.6 \times 2^{54}$	$[0, 2^{46}, 1.6 \times 2^{54}, 0]$
0.12		$2^{47}$	$1.7 \times 2^{52}$	$[0, 2^{47}, 1.7 \times 2^{52}, 0]$
0.25		$2^{48}$	$2^{51}$	$[0, 2^{48}, 2^{51}, 0]$
0.54		$2^{49}$	$2^{50}$	$[0, 2^{49}, 2^{50}, 0]$
0.63		$2^{50}$	$1.6 \times 2^{49}$	$[0, 2^{50}, 1.6 \times 2^{49}, 0]$
0.63		$2^{51}$	$1.6 \times 2^{49}$	$[0, 2^{51}, 1.6 \times 2^{49}, 0]$

으로 감소한다. 하지만 증가시킬 수 있는 성공 확률이 0.63으로 제한되므로 알려진 메시지/MAC 쌍의 개수는 제한적이다. [표 1]은 성공 확률과 공격 수행 복잡도의 관계를 나타낸 것이다.

### III. 3GPP-MAC과 기존 CBC-MAC 방식의 안전성 비교

먼저 CBC-MAC에 대한 다른 공격 형태인 키 탐색 공격의 경우를 살펴 보자. 키 쌍  $K, K'$  이 서로 독립적으로 선택된 경우에는 Preneel-Oorschot<sup>[7]</sup>에서 사용된 분할과 정복(divide and conquer) 키 탐색 공격법을 이용한 결과들이 Knudsen-Mitchell<sup>[9]</sup>의 논문에 나타나 있다. 하지만 실제로 3GPP 기술 문서<sup>[1]</sup>에 나타난 3GPP f9 함수의 경우 키  $K'$  은 원래의 무결성 키  $K$ 로부터 유도되므로 우리는 간단한 전수 조사를 통하여 그 공격량을 알 수 있다.

#### 정리 3.

3GPP-MAC에 대해 키  $K'$  이 다른 키  $K$ 로부터 유도되는 경우, 메시지 길이가 기껏해야  $t$ 개 블록인  $\lfloor \frac{k+1}{m} \rfloor$  개의 알려진 메시지/MAC 쌍과  $(t+1) \cdot 2^k$  번의 암호화 연산으로 키 쌍  $K, K'$  을 찾을 수 있다. 즉, 이 공격의 공격량은

$$[(t+1) \cdot 2^k, \lfloor \frac{k+1}{m} \rfloor, 0, 0]$$

이다.

따라서 키  $K'$  의 사용은 안전성 측면에서는 키  $K$  를 사용하는 것과 별 차이가 없으며 MAC 값의 길이  $m$  이 작을수록 이 공격의 복잡도는 증가한다는 사실을 알 수 있다. 3GPP f9 함수의 경우  $k=128, m=32$  이므로 키 탐색 공격은 현실적으로 불가능하다.

일반적인 CBC-MAC의 경우 생일 공격법을 이용하면  $\sqrt{2} \cdot 2^{n/2}$  개의 알려진 메시지/MAC 쌍과  $\lfloor \frac{n}{m} \rfloor \cdot 2^{n-m}$  개의 선택 메시지/MAC 쌍이 있으면 위장 공격이 가능하다. 가장 효율적인 Knudsen<sup>[4]</sup>의 공격법을 적용하면  $2^{\lfloor \frac{n+m}{2} \rfloor + 1}$  개의 선택 메시지/MAC 쌍과 2개의 알려진 메시지/MAC 쌍이 필요하다. 즉,  $n=64, m=32$  인 경우 대략  $2^{17}$  개의 선택 메시지/MAC 쌍을 가지면 일반적인 CBC-MAC에 대한

(표 2) CBC-MAC과 3GPP-MAC의 공격 복잡도 비교  
( $k=128$ ,  $n=64$ ,  $m=32$ 인 경우)

공격방식 구분	위장 공격	키 탐색 공격
CBC-MAC	$[0, 2, 2^{17}, 0]$	$[t2^{128}, 5, 0, 0]$
3GPP-MAC	$[0, 2^{48}, 2^{51}, 0]$	$[(t+1)2^{128}, 5, 0, 0]$

공격이 가능하다. 하지만 3GPP-MAC에서는 최종 출력 변환의 입력 값으로 모든 연쇄 변수를 XOR하여 사용함으로써 필요한 공격량을  $2^{51}$ 으로 증가시킬 수 있었다. [표 2]는  $k=128$ ,  $n=64$ ,  $m=32$ 인 경우 CBC-MAC과 3GPP-MAC에 대한 현재까지 알려진 가장 효율적인 위장 공격과 키 탐색 공격의 복잡도를 비교 정리한 것이다. 3GPP-MAC의 경우  $m$ 이 작을수록 위장 공격이나 키 탐색 공격의 복잡도는 증가하지만 추측 공격을 고려하여  $m=n/2$ 를 사용하고 있으며, 이 경우 현실적인 공격은 불가능하다.

#### IV. 결 론

본 논문에서는 비동기식 3세대 이동통신의 무선 구간 무결성을 보장하기 위해 사용되는 3GPP-MAC의 안전성을 분석하였다. Knudsen-Mitchell의 공격법을 심층 분석하여 구체적인 공격 수행 알고리즘을 제안하고 이 알고리즘의 성공 확률 및 수행 복잡도를 계산하였다. 또한, 일반적인 CBC-MAC과의 안전성 비교를 통하여 3GPP-MAC에서 사용된 최종 출력 변환의 입력 값으로 연쇄 변수들의 XOR한 값을 이용하는 것이 위장 공격 관점에서 안전성을 높이는 효과가 있다는 것을 보였다.

3GPP-MAC의 안전성 분석과 관련된 것으로 아직까지 발표되지 않은 연구 과제는 Bellare 등<sup>[11]</sup>과 Petrank-Rackoff<sup>[12]</sup> 등에 의해 연구되어 온 안전성에 대한 이론적인 검증이다. 블록 암호 KASUMI의 유사 랜덤성에 기반한 3GPP-MAC의 유사 랜덤성에 대한 연구가 안전성 요인 중의 하나로 반드시 규명되어야 할 문제라 생각된다.

#### 참 고 문 헌

[1] 3G TS 35.201 "Specification of the 3GPP confidentiality and integrity algorithm:

Document 1: f8 and f9 specifications".  
 [2] ISO/IEC 9797-1. Information technology - Security techniques-Message Authentication Codes(MACs)-Part 1: Mechanism using a block cipher, 1999.  
 [3] B. Preneel and P.V. van Oorschot, "On the security of iterated Message Authentication Codes", IEEE Transactions on Information Theory, 45, pp. 71~82, 1999.  
 [4] L.R. Knudsen, "Chosen-text attack on CBC-MAC", Electronics Letters, 33, pp. 48~49, 1997.  
 [5] K. Brincat and C.J. Mitchell, "New CBC-MAC forgery attacks", preprint.  
 [6] American Bankers Association, Washington, DC. ANSI X9.19, "Financial institution retail message authentication", August 1986.  
 [7] B. Preneel and P.V. van Oorschot, "A key recovery attack on the ANSI X9.19 retail MAC", Electronics Letters, 32(17), pp. 1568~1569, 1996.  
 [8] L.R. Knudsen and B. Preneel, "Mac-DES: MAC algorithm based on DES", Electronics Letters, 34, pp. 871~873, 1998.  
 [9] L.R. Knudsen and C.J. Mitchell, "An analysis of the 3gpp-MAC scheme", WCC 2001, pp. 319~328, January 2001.  
 [10] 3G TS 35.202 "Specification of the 3GPP confidentiality and integrity algorithm: Document 2: Kasumi algorithm specifications".  
 [11] M. Bellare, J. Kilian, and P. R. Rogaway, "The security of cipher block chaining", in Advances in Cryptology, Proc. Crypto '94, Lecture Notes in Computer Science, 839, New York: Springer-Verlag, pp. 341~358, 1994.  
 [12] E. Petrank and C. Rackoff, "CBC MAC for Real-Time Data Sources", J. Cryptology, pp. 315~338, 2000.

〈著者紹介〉



**홍도원(Dowon Hong)**

1994년 2월 : 고려대학교 이과대학 수학과(학사)  
 1996년 2월 : 고려대학교 수학과(석사)  
 2000년 2월 : 고려대학교 수학과(박사)  
 2000년 4월~현재 : 한국전자통신연구원 선임연구원  
 관심분야: 정보보호 이론, 이동통신 정보보호



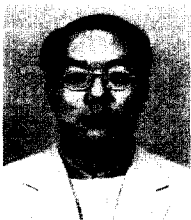
**신상욱(Sang Uk Shin)**

1995년 2월 : 부산수산대학교(현 부경대학교) 전자계산학과 (학사)  
 1997년 2월 : 부경대학교 전자계산학과(석사)  
 2000년 2월 : 부경대학교 전자계산학과(박사)  
 2000년 4월~현재 : 한국전자통신연구원 선임연구원  
 관심분야 : 정보보호론, 컴퓨터 보안



**강주성(Ju-Sung Kang)**

1989년 2월 : 고려대학교 이과대학 수학과(학사)  
 1991년 2월 : 고려대학교 수학과(석사)  
 1996년 2월 : 고려대학교 수학과(박사)  
 1997년 12월~현재 : 한국전자통신연구원 선임연구원  
 관심분야: 암호 이론



**이옥연(Okyeon Yi)**

1988년 2월 : 고려대학교 이과대학 수학과(학사)  
 1990년 2월 : 고려대학교 수학과(석사)  
 1996년 8월 : University of Kentucky(박사)  
 1999년 7월~현재 : 한국전자통신연구원 선임연구원  
 관심분야: 이동통신 정보보호, 컴퓨터 보안